

ارزیابی و مقایسه سیستم استنتاج فازی- عصبی و شبکه عصبی مصنوعی پرسپترون
چند لایه در برآورد هدایت هیدرولیکی اشباع خاک با استفاده از بافت خاک
(مطالعه موردي: شبکه آبياري دشت فتحعلی مغان)

یاسر حسینی* و رضا صدقی**

*نگارنده مسئول: دانشکده کشاورزی و منابع طبیعی مغان، پارس آباد، اردبیل. ایران. تلفن: ۰۴۵۷۳۶۳۴۱۷؛ پیامبر: yaser_hoseini@ymail.com

**** به ترتیب: استادیار دانشکده کشاورزی و منابع طبیعی مغان- دانشگاه محقق اردبیلی؛ و مریم دانشکده فنی و حرفه ای سما، دانشگاه آزاد اسلامی اردبیل**

تاریخ دریافت: ۹۴/۱۰/۱۹؛ تاریخ پذیرش: ۹۴/۶/۱۴

حکیمہ

اندازه‌گیری مستقیم ویژگی‌های هیدرولیکی خاک وقت‌گیر و پر هزینه است اما می‌توان این ویژگی‌ها را با بهره‌گیری از داده‌های زودیاف مثل بافت خاک، جرم مخصوص ظاهری و با استفاده از روش‌هایی چون توابع انتقالی و سیستم استنتاج فازی- عصبی نیز به دست آورد. در این تحقیق برای برآوردهای هیدرولیکی اشباع خاک، از مدل شبکه عصبی مصنوعی و سیستم استنتاج فازی- عصبی استفاده شد. ورودی‌های مدل، شامل درصد رس، سیلیت و شن بود. معماری شبکه عصبی دارای ۳ نرون در لایه ورودی، ۱۱ نرون در لایه پنهان با تابع انتقال تانژانت سیگموئید و یک نرون در لایه خروجی با تابع انتقال خطی با ۱۰۰۰ تکرار بود و در تمام شبکه از سرعت یادگیری و مومنتم مساوی با $\frac{1}{3}$ استفاده شد. سیستم استنتاج فازی- عصبی دارای ۲۷ قانون است و برای تابع عضویت متغیرهای ورودی از تابع گوسین استفاده شد. همچنین، برای بهینه سازی سیستم استنتاج فازی- عصبی از روش هیبرید استفاده شد. برای ارزیابی عملکرد مدل از پارامترهای مجدول میانگین مربعات خطا (سانتی‌متر بر روز)، درصد خطای نسبی، میانگین خطای مطلق (سانتی‌متر بر روز)، ضریب جرم باقیمانده، راندمان مدل و ضریب تبیین استفاده شد که برای مدل فازی- عصبی به ترتیب 0.997 ، 0.999 ، 0.999 و 0.997 به دست آمد. برای شبکه عصبی مصنوعی نیز با الگوریتم آموزشی لونبرگ- مارکوت در تخمین هدایت هیدرولیکی اشباع خاک این مقادیر به ترتیب 0.997 ، 0.999 ، 0.999 و 0.997 به دست آمد. نتایج تحقیق نشان می‌دهد که سیستم استنتاج فازی- عصبی نسبت به شبکه عصبی مصنوعی دقیق‌تر است و نسبت به داده‌های اندازه‌گیری شده نتایجی نزدیکتر ارائه می‌دهد.

واژه‌های کلیدی

تخمین، دانه‌بندی خاک، سیستم استنتاج فازی - عصبی، شبکه عصبی مصنوعی، هدایت هیدرولیکی خاک

٤٩١٩٩

مقدمه اندازه‌گیری ویژگی‌های هیدرولیکی خاک، مانند هدایت هیدرولیکی اشبع خاک که از مهمترین ویژگی‌های فیزیکی خاک است، در طراحی و امکان‌بزدیر بودن فنی، و اقتصادی، پروژه‌های زهکشی نقش بسزایی دارد. اندازه‌گیری این ویژگی‌ها به دلیل نیاز به صرف هزینه و زمان زیاد و تغییرپذیری مکانی و زمانی فراوان آنها، اغلب با دشواری‌هایی همراه است. بنابراین، استفاده از روش‌های

به یادگیری نیست. به عبارت دیگر، با استفاده از داده‌های مشاهده‌ای نمی‌توان سیستم فازی را آموزش داد. اما شبکه‌های عصبی با استفاده از مجموعه داده‌ها، قابلیت خودآموزی دارند. در عین حال، شبکه‌های عصبی غیر صریح هستند و نمی‌توانند از زبان بشری استفاده کنند. رالز (Rawls, 2004) در تحقیقی دیگر به منظور برآورد هدایت هیدرولیکی اشباع ماتریس و منافذ درشت خاک، مدل فرش سرپینسکی را با معادله هدایت هیدرولیکی مارشال (Marshal, 1958) ترکیب کرد؛ نتایج این بررسی نشان داد که معادله هدایت هیدرولیکی اشباع تعديل شده مارشال برآوردهایی منطقی از هدایت هیدرولیکی اشباع ماتریس و منافذ درشت خاک می‌دهد. در این تحقیق، ضریب همبستگی بین مقادیر هدایت هیدرولیکی اشباع برآورد شده و اندازه‌گیری شده توسط این محققان 0.89 به دست آمد. در چند سال اخیر سیستم‌های قدرتمندی به نام سیستم‌های استنتاج فازی- عصبی (ANFIS) در علوم مختلف به کار برده شده است. رضایی‌ارشد-Rezaie- (Arshad, 2010) در تحقیقی برای مقایسه توانایی شبکه‌های عصبی مصنوعی با روش‌های رگرسیونی چندگانه برای تخمین هدایت هیدرولیکی اشباع از شاخص‌های زودیافت خاک، از جمله درصد توزیع اندازه ذرات و جرم مخصوص ظاهری، به این نتیجه رسید که شبکه‌های عصبی ایجاد شده قادرند هدایت هیدرولیکی اشباع را با دقت بیشتری (ضریب تبیین 0.82) نسبت به 0.5 نسبت به رگرسیون‌های خطی چندگانه برآورد کنند. عابدی (Amir-Abedi, 2012) نیز در مقایسه دقت برآورد شبکه‌های عصبی و مدل‌های رگرسیونی به نتایج مشابه دست یافت؛ وی در تحقیقی خصوصیات فیزیکی خاک از جمله هدایت هیدرولیکی اشباع خاک را از ویژگی‌های زودیافت خاک برآورد و با مدل‌های رگرسیونی مقایسه کرد. نتایج بررسی‌های این محقق نشان داد که مدل‌های شبکه‌عصبی و مدل‌های رگرسیونی با میزان ضریب تبیین

که بتوانند این ویژگی‌ها را با استفاده از پارامترهای زودیافت خاک مانند بافت، کربن آلی و چگالی ظاهری با دقت مناسب تخمین بزنند، لازم به نظر می‌رسد. یکی از این روش‌ها، روش سیستم استنتاج فازی- عصبی^۱ (ANFIS) است. در گذشته، از مدل‌های ریاضی برای پیدا کردن رابطه بین ورودی‌ها و خروجی‌های هر فرایند استفاده می‌شد. اما این رویکرد منطق کلاسیک نیاز به تعریف دقیقی از معادلات مدل ریاضی توصیف شده برای آن پدیده داشت. امروزه، اثبات شده است که در بسیاری از کاربردها روش منطق فازی^۲، نسبت به چارچوب‌های ریاضی کلاسیک، برتری دارد زیرا منطق فازی از نظر مفهومی بسیار ساده و انعطاف‌پذیر است و در واقع به آسانی می‌توان یک سیستم فازی را برای حل مسئله‌ای پیچیده با استفاده از قوانین اگر- آنگاه سازماندهی کرد.

لیپمان (Lippman, 1987) می‌گوید شبکه عصبی مصنوعی (ANN) روش دیگری است و با مدل‌سازی ارتباطات سیناپسی و ساختار نرونی مغز انسان، رویکردی برای پیاده‌سازی مصنوعی ویژگی‌های فیزیولوژیک آن است. هرچند شبکه‌های عصبی مصنوعی با مدل واقعی مغز فاصله زیادی دارند، اما توانایی این شبکه‌ها در کشف روابط غیرخطی میان داده‌های ورودی و استخراج مدل دینامیک غیرخطی حاکم بر داده‌ها قابل توجه است و در مقایسه با مدل‌های مرسوم، این مدل‌ها به ورودی‌های کمتر و تلاش محاسباتی اندکی نیاز دارند.

رحیمی اجدادی و عباسپور گیلانده (Rahimi-Ajdadi & Abbaspour-Gilandeh, 2011) شبکه عصبی مصنوعی، نسبت به مدل رگرسیونی کلاسیک، را گزارش داده‌اند. هریک از سیستم‌های فازی- عصبی و شبکه‌های عصبی مصنوعی دارای مزایا و نواقصی است. کارتالاپولوس (Karatalopoulos, 2000) می‌گوید سیستم فازی قادر به استفاده از زبان بشری است و می‌تواند از تجربیات بشر و افراد متخصص و خبره استفاده کند اما قادر

رگرسیونی و فازی برای ایجاد توابع انتقالی خاک به این نتیجه رسیدند که وقتی روابط بین متغیرها، و به طور کلی هنگامی که با خطاهای ناشی از ابهام در ساختار معادلات رگرسیونی روبه رو هستیم، روش فازی می‌تواند جایگزین روش‌های رگرسیونی شود. تحقیقات سرمدیان و همکاران (Sarmadian *et al.*, 2010) برای تخمین خصوصیات خاک از جمله نقطه پژمردگی، ظرفیت زراعی و وزن مخصوص ظاهری از روی داده‌های زودیافت خاک مانند بافت خاک و کربن آلی و آهک با استفاده از روش‌های نورو فازی و شبکه عصبی و رگرسیون چند متغیره، نتایج برتری سیستم‌های نورو فازی را نسبت به روش‌های دیگر نشان داد اما در برخی از ویژگی‌ها مثل حد ظرفیت زراعی، نقطه پژمردگی و چگالی ظاهری، نتایج مدل‌ها در سطح ۵ درصد معنی‌دار نگردید. سیستم‌های نورو فازی علاوه بر آنکه قدرت یادگیری سیستم‌های شبکه عصبی را دارند، به دلیل برخورداری از قوانین کیفی، خطاهایشان کمتر است و انتظار می‌رود در برآوردها همواره بهتر از شبکه‌های عصبی عمل کنند؛ با این همه، در پاره‌ای از موارد نتایج سیستم‌های مبتنی بر شبکه‌های عصبی از سیستم‌های فازی- عصبی دقیق‌تر بوده است. به طور مثال، نتایج تحقیقات کیانپور کلخواجه (Kianpur-Kalkhajeh, 2012) برای برآورد هدایت هیدرولیکی اشباع خاک از داده‌های زودیافت خاک با استفاده از روش‌های رگرسیونی خطی و شبکه عصبی و سیستم نورو فازی نشان می‌دهد که شبکه عصبی با ضریب تبیین 0.81 ، نسبت به روش رگرسیون خطی چندگانه با ضریب تبیین 0.51 و مدل ANFIS با ضریب تبیین 0.71 ، دقیق‌تر از این دو مدل است. هدایت هیدرولیکی خاک دارد. فیروزی و همکاران (Firoozzi *et al.*, 2014) در زمین‌های کشاورزی از روش‌های ANN و ANFIS استفاده کردند. نتایج بررسی‌ها نشان می‌دهد که شبکه عصبی با 6 ورودی و 4 نرون برای هر لایه پنهان، با ضریب

0.76 و 0.72 توانایی خوبی در تعیین هدایت هیدرولیکی اشباع خاک دارند اما دقیق‌تر مدل‌های شبکه عصبی بالاتر است. در بسیاری از تحقیقات برای برآورد خصوصیات هیدرولیکی خاک، از اجزای بافت خاک به عنوان پارامترهای مستقل با حساسیت بالا نام برده شده است (Givi *et al.*, 2004; Heuscher *et al.*, 2005; Vos *et al.* 2005)

نصرتی و همکاران (Nosrati *et al.*, 2012) در تحقیقی هدایت هیدرولیکی اشباع را از پارامترهای زودیافت خاک با استفاده از شبکه‌های عصبی برآورد کردند و پارامترهای درصد شن و رس، رطوبت در مکش 0.3 بار، تخلخل کل و میانگین هندسی اندازه ذرات خاک را در برآورد هدایت هیدرولیکی اشباع پارامترهایی حساس می‌دانند. مردون و همکاران (Merduń *et al.*, 2006) با استفاده از توابع انتقالی و شبکه‌های عصبی مصنوعی، هدایت هیدرولیکی اشباع را برآورد کردند. در این پژوهش، 130 نمونه از داده‌ها برای پی‌ریزی مدل‌ها و 65 نمونه باقی مانده برای ارزیابی مدل‌ها به کار گرفته شد. نتایج این پژوهش نشان داد که مدل‌های رگرسیونی، نسبت به شبکه‌های عصبی مصنوعی، برآورد بهتری از هدایت هیدرولیکی اشباع داشته‌اند.

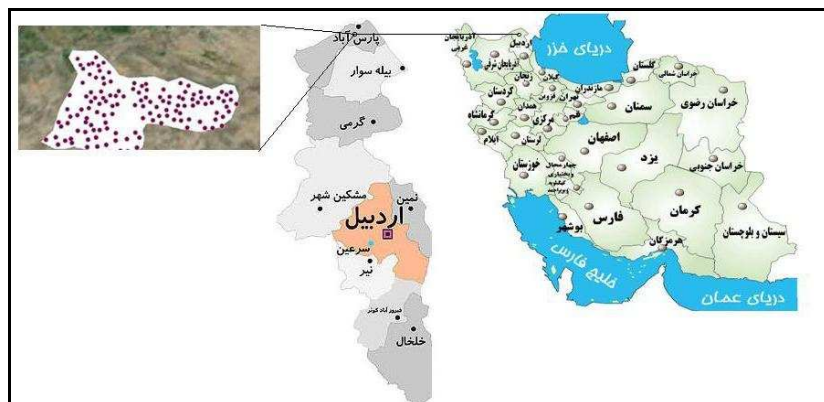
در برآرۀ برتری مدل‌های ANFIS نسبت به سایر مدل‌ها در برآوردهای مربوط به خاک، محمدی (Mohammadi, 2002) می‌گوید از آنجا که در سیستم‌های طبیعی، مانند خاک، عموماً با مشاهدات یا روابط ناشناخته بین متغیرها روبه رو هستیم باید قادر به ارائه الگوهایی باشیم که انطباق بیشتری با دنیای واقعی داشته باشند. از این رو با توجه به ماهیت ابهامی پدیده‌های خاک و تقریبی بودن مقادیر اندازه‌گیری شده، به نظر می‌رسد دلیل کارایی مدل‌های مبتنی بر مجموعه‌های فازی- عصبی در پردازش توابع انتقالی خاک همین باشد. محمدی و طاهری (Mohammadi & Taheri, 2005) با مقایسه دو روش

جنوب غربی شهرستان پارس‌آباد و ۲۳۰ کیلومتری شمال غربی شهرستان اردبیل در استان اردبیل قرار دارد. راه دسترسی اراضی از طریق جاده اردبیل-پارس‌آباد است. موقعیت جغرافیایی، اراضی^۱ ۵۶°۳۵'۴۷" تا^۲ ۲۱°۴۳'۴۷" طول شرقی و^۳ ۱۲°۲۵'۳۹" تا^۴ ۲۸°۲۸'۳۹" عرض شمالی است و از شمال به روستای فتحعلی و شهرک مغان، از غرب به جاده بران‌علیا-سربند، از شرق به قشلاق قره‌تپه و از جنوب به قشلاق حاج امیرافراسیاب محدود می‌شود. ارتفاع اراضی از ۱۵۸ تا ۲۵۴ متر بالاتر از سطح دریا متغیر است. این منطقه با متوسط بارندگی سالانه ۲۸۴/۶ میلی‌متر و دمای متوسط سالانه ۱۴/۷ درجه سلسیوس، طبق روش آمپرژه اقلیم نیمه مرطوب معتدل و طبق روش دومارتن اقلیم نیمه خشک دارد. رژیم رطوبتی خاک‌ها ویک اریدیک^۱ از زیر شاخه‌های اریدیک^۲ و رژیم حرارتی آنها ترمیک^۳ است. شکل ۱ موقعیت شبکه آبیاری دشت فتحعلی را نشان می‌دهد.

ANFIS تبیین ۰/۹۴ بهترین برآورد را دارد و از نتایج مدل به مقادیر اندازه‌گیری شده نزدیکتر است. از آنجا که در سیستم‌های طبیعی، مقادیر اندازه‌گیری شده تا حدودی تقریبی است، انتظار می‌رود مدل‌های مبتنی بر منطق فازی-عصبی نسبت به مدل‌های شبکه عصبی دقت بیشتری داشت باشند. اما همان‌طور که در قسمت منابع اشاره شد در برخی موارد دقت سیستم‌های شبکه عصبی و حتی رگرسیونی نسبت به مدل فازی-عصبی دقیق‌تر بوده است. با توجه به مطالب ذکر شده، هدف از این پژوهش مقایسه کارآمدی سیستم‌های نوروفازی و شبکه‌های عصبی برای برآورد میزان هدایت هیدرولیکی اشباع خاک از روی پارامترهای حساس و زود یافت خاک در منطقه مورد مطالعه است.

مواد و روش‌ها

محدوده مورد مطالعه به وسعت ۵۱۸۲ هکتار بخشی از اراضی دشت فتحعلی در فاصله تقریباً ۳۵ کیلومتری



شکل ۱- موقعیت شبکه آبیاری دشت فتحعلی و نقاط نمونه‌برداری شده

استفاده شد که برگرفته از گزارش مطالعات تفصیلی خاکشناسی و طبقه‌بندی اراضی دشت فتحعلی شهرستان پارس‌آباد است. کارفرمای این طرح سازمان جهاد کشاورزی استان اردبیل بوده و مطالعات توسط شرکت خدمات مهندسی آب و خاک کشور صورت گرفته است. در

مطالعات صحراوی و بررسی‌های آزمایشگاهی

هدایت هیدرولیکی اشباع خاک در منطقه مورد مطالعه جمعاً در ۱۵۰ ایستگاه و در قالب مطالعات فاز دوم طراحی و اجرای شبکه آبیاری دشت فتحعلی اندازه‌گیری شده است؛ در این تحقیق از داده‌های ۱۳۵ ایستگاه

وارد کردن داده‌ها به صورت خام باعث کاهش سرعت و پایین آمدن دقت شبکه می‌شود؛ برای اجتناب از چنین شرایطی و همچنین به منظور یکسان کردن ارزش داده‌ها، پیش از آموزش شبکه عصبی، داده‌های ورودی به آن باید استاندارد شوند (Mohammadi, 2002). این کار مانع از کوچک شدن بیش از حد وزن‌ها می‌شود که داده‌ها به اعدادی بین صفر تا یک تبدیل شوند زیرا در این پژوهش برای نرون‌ها در لایه مخفی،تابع انتقال سیگموئیدی انتخاب شد که خروجی این تابع اعدادی بین صفر تا یک است و بنابراین باید داده‌های ورودی به این تابع نیز اعدادی بین صفر و یک باشند، (Menhaj, 1998). برای ورودی‌های نزدیک به صفر تا یک، تغییرات وزن نرون‌ها حداقل خواهد بود زیرا در این اعداد، نرون‌ها به دلیل شکل تابع سیگموئید، گند عمل می‌کنند. ولی برای مقادیر ورودی‌های نزدیک به نیم، پاسخ نرون‌ها به سیگناال ورودی سریع‌تر خواهد بود (Wosten *et al.*, 1999).

سیستم‌های استنتاج فازی - عصبی (ANFIS)

اساس ANFIS بر پایه‌ای از مجموعه داده‌های ورودی/خروجی سیستم استنتاج فازی (FIS) است. این سیستم بر پایه قوانین ترکیبی از سه قسمت: ۱- توابع عضویت متغیرهای ورودی و خروجی (فازی کردن)، ۲- قوانین فازی (پایگاه قواعد)، استنتاج مکانیزم (ترکیب قواعد با ورودی فازی) و ۳- مشخصه‌های خروجی و نتایج سیستم (غیر فازی‌سازی). اولین بار جانگ (Jang, 1993) توانست از قدرت زبانی سیستم‌های فازی و آموزش شبکه‌های عصبی استفاده و سیستمی به نام سیستم‌های فازی- عصبی تطبیقی ارائه کند؛ این سیستم‌ها به سیستم‌های ANFIS معروف شده‌اند. سیستم‌های ANFIS را بیشتر با استفاده از یک سیستم فازی تاکاگی- سوگنو- کانگ^۱ (TSK) به صورت ساختار شبکه‌ای پیش‌روندۀ

این راستا هدایت هیدرولیکی خاک در بالای سطح ایستابی با استفاده از دستگاه نفوذسنج گلف اندازه‌گیری شده است. در اندازه‌گیری به روش گلف ابتدا چاهکی با اوگر مخصوص تا عمق مورد نظر در خاک حفر و کف آن با اوگر مربوط صاف گردید. سپس دستگاه در چاهک مربوطه قرار داده شد و قرائت‌ها مطابق روش استاندارد یک بار تا ارتفاع آب به میزان ۵ سانتی‌متر و یک بار تا ارتفاع ۱۰ سانتی‌متر آب درون چاهک صورت گرفت. برای اندازه‌گیری هدایت هیدرولیکی در زیر سطح ایستابی نیز از روش چاهک استفاده شد. با بررسی آماری داده‌های فیزیکی خاک مشخص شد که میزان شن خاک بین $\frac{4}{3}$ تا $\frac{5}{3}$ درصد با میانگین $\frac{3}{8}$ درصد، میزان سیلت خاک بین $\frac{5}{3}$ تا $\frac{14}{3}$ درصد با میانگین $\frac{35}{5}$ درصد و میزان رس خاک بین $\frac{7}{8}$ تا $\frac{81}{8}$ درصد با میانگین $\frac{44}{3}$ درصد متغیر است. دامنه زیاد تغییرات در پارامترهای فیزیکی خاک می‌تواند به دلیل وسعت محدوده مورد مطالعه باشد. دامنه تغییرات هدایت هیدرولیکی $\frac{10}{7}$ تا $\frac{166}{6}$ سانتی‌متر بر روز با میانگین $\frac{131}{2}$ سانتی‌متر بر روز است.

آماده‌سازی داده‌ها

تعداد کل داده‌های به دست آمده ۱۳۵ بود که از این میان از ۱۲۰ داده برای مرحله آموزش مدل و از ۱۵ داده برای مرحله آزمون مدل استفاده شد. داده‌ها در دامنه صفر تا ۱، طبق رابطه ۱ نرمال شدند (Anon, 2008).

$$X_{norm} = \frac{X - X_{min}}{X_{max} - X_{min}} \quad (1)$$

که در آن،

X_{norm} = مقادیر نرمال شده؛ X = مقدار مشاهده شده؛ و X_{min} و X_{max} به ترتیب مقادیر بیشینه و کمینه مشاهده شده است.

به کار می‌برند. برای سادگی کار فرض می‌کنیم که سیستم $x = \text{ورودی}$ گرده i است.

لایه دوم: (گره‌های قاعده) هر گرده در این لایه درجه فعالیت هر قانون را محاسبه می‌کند (رابطه ۸):

$$O_{2,i} = w_i = \mu A_i(x) \times \mu B_i(y) \quad i=1,2 \quad (8)$$

لایه سوم: خروجی این لایه نرمال شده لایه قبلی است (رابطه ۹):

$$O_{3,i} = \overline{w_i} = \frac{w_i}{w_1 + w_2}, \quad i=1,2 \quad (9)$$

لایه چهارم: (گره‌های نتیجه) در این لایه خروجی هر گرده برابر است با (رابطه ۱۰):

$$O_{4,i} = \overline{w_i} f_i = \overline{w_i} (P_i x + q_i y + r_i), \quad i=1,2 \quad (10)$$

لایه پنجم: (گره‌های خروجی) در این لایه هر گرده مقدار خروجی نهایی را به صورت رابطه ۱۱ محاسبه می‌کند (تعداد گردها برابر تعداد خروجی‌هاست):

$$O_{5,i} = \sum_i \overline{w_i} f_i = \frac{\sum_i W_i f_i}{\sum_i W_i} \quad (11)$$

بر اساس نظر جانگ و سان (Jang & Sun, 1997)، آموزش این سیستم‌ها به این مفهوم است که با استفاده از داده‌های آموزشی پارامترهای غیرخطی مربوط به توابع عضویت فازی در لایه اول و پارامترهای خطی لایه چهارم طوری تعیین شوند که به ازای ورودی دلخواه، خروجی مطلوب حاصل شود.

روش بهینه‌سازی هیبرید^۳ یکی از مهم‌ترین روش‌های بهینه‌سازی سیستم‌های استنتاج فازی-عصی است. این روش ترکیبی از روش حداقل مربعات و روش کاهش شیب پساننتشار^۴ است.

به کار می‌کاریم که فرض می‌کنیم که سیستم $x = \text{ورودی}$ گرده i است. حال اگر فازی دو ورودی x و y دارد و خروجی آن z است. حال اگر قوانین به صورت روابط ۲ و ۳ باشند:

$$\text{Rule1: if } x \text{ is } A_1 \text{ and } y \text{ is } B_1 \text{ then } f_1 = P_1 x + q_1 y + r_1 \quad (2)$$

$$\text{Rule2: if } x \text{ is } A_2 \text{ and } y \text{ is } B_2 \text{ then } f_2 = P_2 x + q_2 y + r_2 \quad (3)$$

و اگر برای غیرفازی‌سازی (تبديل خروجی نهایی سیستم به یک عدد کلاسیک) از روش میانگین مراکز استفاده کنیم خروجی به صورت رابطه ۴ خواهد بود.

$$f = \frac{w_1 f_1 + w_2 f_2}{w_1 + w_2} = \overline{w_1} f_1 + \overline{w_2} f_2$$

$$st \quad \overline{w_1} = \frac{w_1}{w_1 + w_2},$$

$$\overline{w_2} = \frac{w_2}{w_1 + w_2}$$

ساختار معادل ANFIS که از پنج لایه به صورت زیر تشکیل شده در شکل ۲ آمده است.

لایه اول: (گره‌های ورودی) در این لایه، درجه عضویت گره‌های ورودی به بازه‌های مختلف فازی با استفاده از تابع عضویت، مشخص می‌شود (روابط ۵ و ۶):

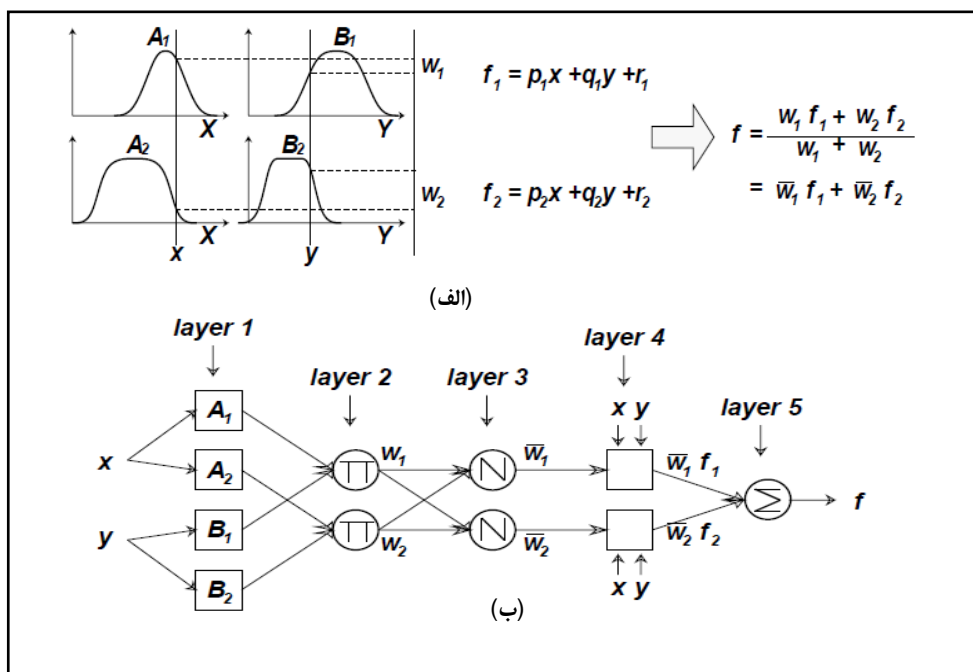
$$O_{1,i} = \mu A_i(x), \quad \text{for } i=1,2 \quad (5)$$

$$O_{1,i} = \mu B_i(y), \quad \text{for } i=1,2 \quad (6)$$

تابع عضویت گوسین^۱ ($\mu A_i(x)$) به صورت رابطه ۷ بیان می‌شود.

$$\mu A_i(x) = \exp \left[- \left(\frac{x - c_i}{a_i} \right)^2 \right] \quad (7)$$

که در آن،



شکل ۲- (الف) مدل فازی مرتبه اول سوگنو و (ب) ساختار ANFIS

پیش‌بینی وجود دارد که به طور عمده بر اساس اختلاف بین خروجی‌های پیش‌بینی شده و خروجی‌های مطلوب و واقعی استواراند. برای ارزیابی عملکرد مدل از پارامترهای MAE، RMSE، درصد خطای نسبی (ϵ)، CRM، ضریب تبیین (R^2)، ضریب باقیمانده جرم (CRM) و کارایی مدل (EF) استفاده شد (روابط ۱۶ تا ۱۷). بهترین پیش‌بینی‌ها زمانی رخ می‌دهد که RMSE، CRM، ϵ ، MAE به صفر و EF و R^2 به یک میل کنند.

$$RMSE = \sqrt{\frac{1}{N} \sum_{i=1}^N (Q_i - P_i)^2} \quad (12)$$

$$\epsilon = \frac{100\%}{N} \sum_{i=1}^N \left| \frac{Q_i - P_i}{Q_i} \right| \quad (13)$$

$$MAE = \frac{1}{N} \sum_{i=1}^N |Q_i - P_i| \quad (14)$$

$$R^2 = \frac{\left[\sum_{i=1}^N (P_i - \bar{P})(Q_i - \bar{Q}) \right]^2}{\sum_{i=1}^N (P_i - \bar{P})^2 \sum_{i=1}^N (Q_i - \bar{Q})^2} \quad (15)$$

ارزیابی عملکرد مدل

در تحقیق حاضر از روش هیبرید برای بهینه‌سازی شبکه استفاده شد. در این روش، بر اساس نظر عقیل و همکاران (Aqil *et al.*, 2007) همچنین ایلماز و کاینار (Yilmaz & Kaynar, 2011) از ورودی‌های مدل برای تعیین قوانین در لایه اول استفاده می‌شود و روش‌های مختلفی برای انتخاب قوانین موجود است.

برای استفاده از این روش باید داده‌ها نرمال شوند زیرا تحقیقات لوک و همکاران (Luk *et al.*, 2000) نشان داده است که داده‌های نرمال شده در منطق فازی نتایج بهتری خواهند داشت. محققانی چون فینل و همکاران (Gokceoglu, 2002) و گکسلو (Finol *et al.*, 2001) کاراکوس و تاتمس (Karakus & Tutmes, 2006) پارامترهای آماری مجذور میانگین مربعات خطای (RMSE) و میانگین خطای مطلق (MAE) را برای ارزیابی دقت مدل‌های مبتنی بر شبکه عصبی و منطق فازی به کار برده‌اند. معیارهای مختلفی برای ارزیابی مدل‌های

\bar{P} = مقدار واقعی؛ \bar{Q}_i = میانگین مقدار پیش‌بینی شده توسط مدل؛ و \bar{Q} = میانگین مقدار واقعی (Jacovides,

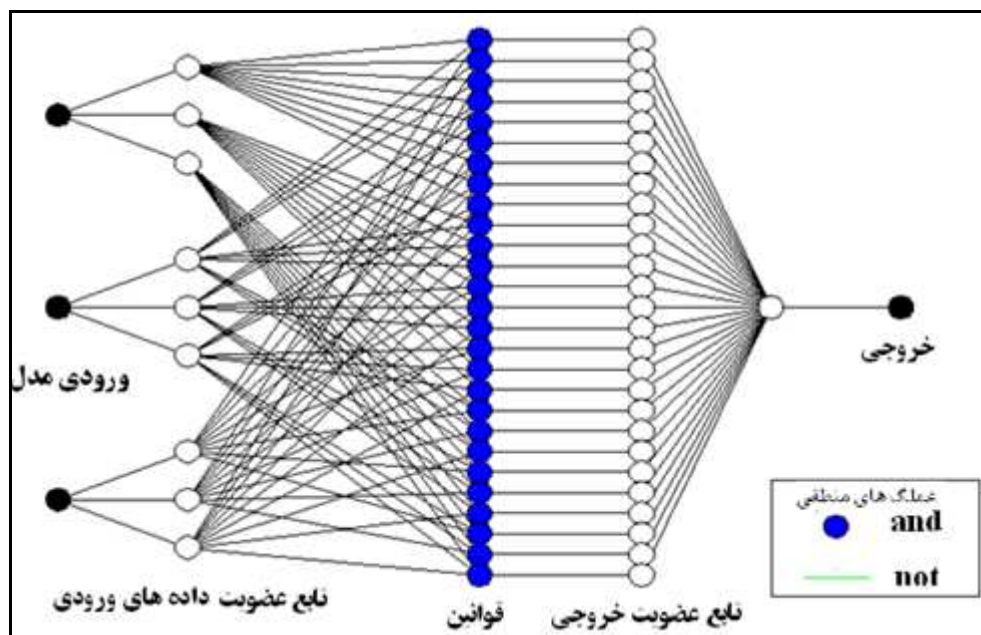
در این تحقیق، مدل ANFIS با سه ورودی درصد شن، سیلت و رس و خروجی هدایت هیدرولیکی اشباع خاک در نرمافزار (Version 7.12.0) MATLAB و در قسمت Fuzzy Logic Toolbox ایجاد شد. شکل ۳

تعداد نمونه؛ P_i = مقدار پیش‌بینی شده توسط مدل؛ N = ساختار مدل را نشان می‌دهد.

$$CRM = \frac{\sum_{i=1}^N Q_i - \sum_{i=1}^N P_i}{\sum_{i=1}^N Q_i} \quad (16)$$

$$EF = \frac{\sum_{i=1}^N (Q_i - \bar{Q})^2 - \sum_{i=1}^N (P_i - \bar{Q}_i)^2}{\sum_{i=1}^N (Q_i - \bar{Q})^2} \quad (17)$$

که در آنها،



شکل ۳- ساختار مدل ANFIS برای برآورد هدایت هیدرولیکی اشباع خاک با استفاده از بافت خاک

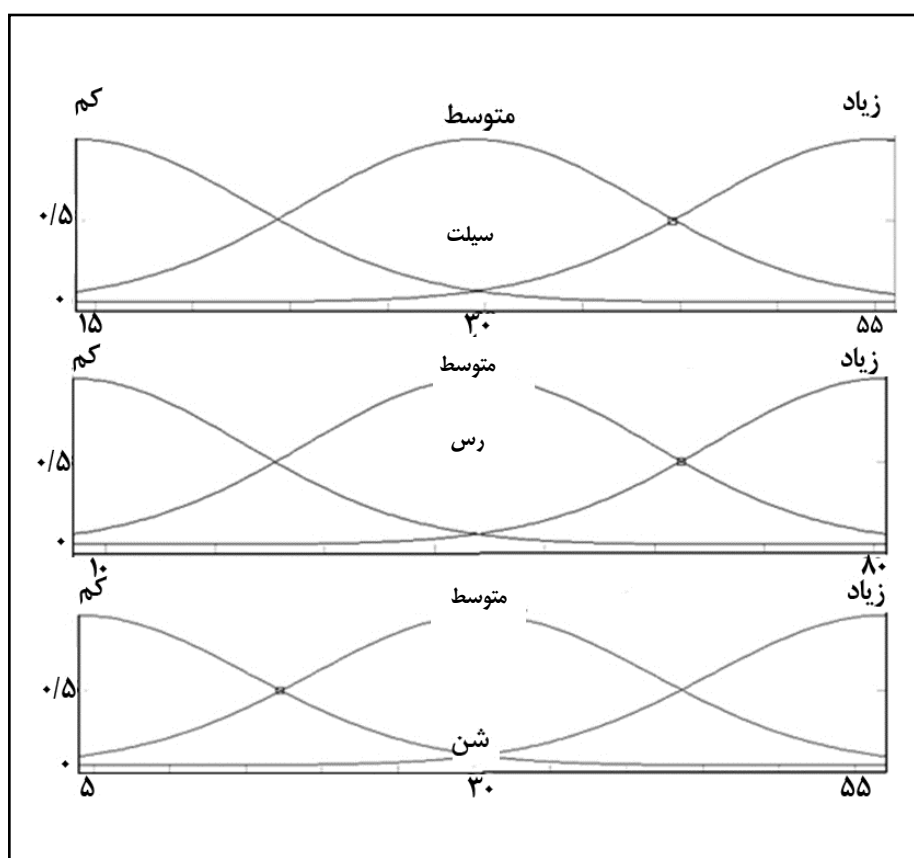
روش، ترکیبی از روش حداقل مربعات و روش کاهش شبیه پسانتشار است که به همین دلیل در این تحقیق نسبت به روش پسانتشار برتری داده شده است. از آنجا که تابع عضویت گوسی از مزیت‌های نرمی و مقدار غیر صفر در کلیه نقاط برخوردار است، و تغییرات آن برای عضویت داده‌های ورودی به مقدار کم، متوجه و زیاد بدون چولگی و متقاض است، از این رو در این تحقیق از تابع عضویت مذکور استفاده شد. همچنین، از آنجا که مدل ANFIS فقط در مورد سیستم‌های سوگنو^۲ کاربرد

نتایج و بحث

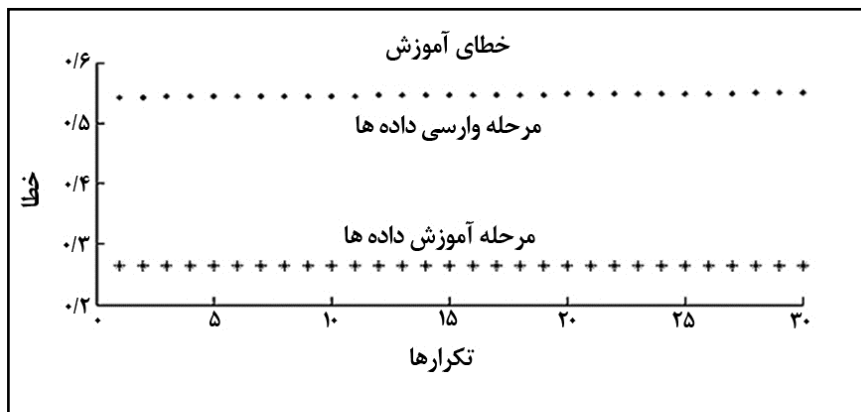
در مدل ANFIS برای توابع عضویت متغیرهای ورودی از تابع عضویت گوسین و متغیرهای زبانی پایین، متوسط و بالا استفاده شد (شکل ۴). مدل ANFIS شامل ۲۷ قانون و ۷۸ گره است و همچنین ۱۰۸ پارامتر خطی (در لایه دوم)، ۱۸ پارامتر غیرخطی (در لایه اول) و در کل ۱۲۶ پارامتر دارد. برای آموزش سیستم استنتاج فازی از روش هیبرید استفاده شد. از روش بهینه سازی هیبرید^۱ برای آموزش پارامترهای تابع عضویت استفاده می‌شود و این

مقدار R^2 برابر ۰/۹۹ و مقدار RMSE برابر ۰/۰۳۲ سانتی متر بر روز است که توانایی مدل ANFIS در ایجاد ارتباط بین ورودی و خروجی و نزدیکی نتایج به مقادیر اندازه‌گیری شده را نشان می‌دهد. نتایج این تحقیق از نتایج مطالعات اقیار و همکاران (Agyare *et al.*, 2007)، که مقدار RMSE را برابر ۰/۴ و R^2 را برابر ۰/۶ برآورد کرده‌اند بسیار دقیق‌تر است. همچنین، در تحقیقات نادرلو و همکاران (Naderloo *et al.*, 2012)، مقدار R^2 برابر ۰/۹۵ و مقدار RMSE برابر ۰/۴۴ برآورده شده است که هدایت هیدرولیکی برآورده شده در این تحقیق به مقادیر اندازه‌گیری شده نزدیک‌تر است.

دارد و این سیستم‌ها دارای توابع عضویت خروجی خطی هستند، لذا تابع عضویت خروجی مدل ANFIS نیز از نوع خطی بود. شکل ۵ رابطه بین RMSE و تکرار را برای مراحل آموزش و وارسی و شکل ۶ نتایج خروجی مدل فازی ANFIS به صورت نمودارهای سه‌بعدی بر حسب پارامترهای ورودی و خروجی است که تأثیر تغییرات پارامترهای ورودی (رس، سیلت و شن) را بر خروجی مدل (هدایت هیدرولیکی) نشان می‌دهد. جدول ۱ خصوصیات مدل ANFIS و ارزیابی آن را بر اساس پارامترهای آماری RMSE، درصد خطای نسبی (ϵ)، MAE و ضریب تبیین ارائه می‌کند. همان‌طور که در جدول ۱ مشخص است،



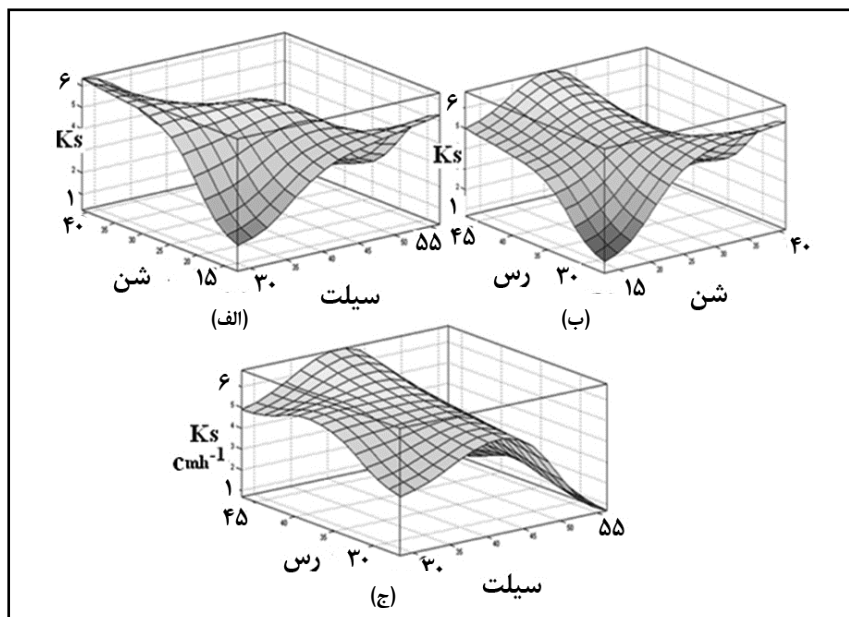
شکل ۴- توابع عضویت متغیرهای ورودی: درصد شن، سیلت و رس



شکل ۵- تعداد تکرارها در مقابل مجدور میانگین مربعات خطای آموزش و وارسی داده‌ها

جدول ۱- خصوصیات مدل ANFIS و ارزیابی آن بر اساس پارامترهای آماری

ضریب تبیین	MAE (سانتی متر بر روز)	خطای نسبی (درصد)	RMSE (سانتی متر بر روز)	روش بهینه‌سازی	تعداد پارامترها			نوع تابع عضویت
					تکرار	ورودی	خروجی	
۰/۹۹۷	۰/۱۸	۰/۶۲۷	۰/۰۳۲	هیبرید	۳۰	۳	خطی	گوسی



شکل ۶- هدایت هیدرولیکی اشباع خاک در مقابل: (الف) درصد شن و سیلت، (ب) درصد رس و رس و سیلت، (ج) درصد رس و سیلت

پارامترهای آموزشی و تابع عملکرد انتخاب شدند، آموزش شبکه با استفاده از هر یک از الگوریتم‌ها، ابتدا با یک نرون پنهان و ۲ اپوک، شروع شد و با افزایش آن تا حداقل

پس از آنکه داده‌های ورودی و خروجی شبکه نرمال شدند، الگوریتم آموزشی، تابع انتقال، تعداد نرون‌های لایه پنهان، تعداد لایه‌های پنهان، تعداد تکرار (اپوک)، مقادیر

غیرخطی در MLP افزایش و در نتیجه میزان همگرایی شبکه عصبی کاهش یابد. حتی ممکن است با افزایش تعداد لایه‌های مخفی و تشدید حالت غیرخطی، MLP در فاز آموزش دچار نوسان‌های شدید یا واگرایی شود. به همین دلیل در کاربردهای عملی MLP، به ندرت بیش از سه لایه مخفی انتخاب می‌شود. در استفاده از MLP برای حل مسائل مهندسی، عمدتاً از یک یا حداقل دو لایه مخفی استفاده می‌شود.

به طور کلی در کاربردهای عملی، MLP با یک لایه مخفی بیشترین استفاده را دارد. نرون‌های مخفی اگر در یک لایه قرار داشته باشند، چون به طور موازی با هم قرار MLP می‌گیرند، تأثیر کمتری در افزایش حالت غیرخطی خواهند داشت. افزایش توان پردازش عاملی در جهت افزایش تعداد نرون‌های مخفی است، در حالی که کاهش حالت غیرخطی عاملی در جهت کاهش تعداد اینترون‌هاست. معمولاً تعداد نرون‌های مخفی در MLP با مصالحهای بین این دو عامل انتخاب می‌شود.

تاکنون الگوریتم کلی برای این امر به جز در موارد خاص ارائه نشده است و تعداد نرون‌های مخفی غالباً با اتکا به تجربه‌های پیشین یا با استفاده از روش سعی و خطا انتخاب می‌شود (Amjadi, 2002). در شبکه عصبی پرسپترون چند لایه برای نرون‌های لایه خروجی معمولاً از تابع انتقال سیگموئید یا تانژانت سیگموئید (همانند لایه‌های مخفی) استفاده می‌شود. به عبارت دیگر، می‌توان گفت که لایه ورودی و لایه خروجی، مرز MLP با دنیای بیرون را تشکیل می‌دهند (Amjadi, 2002).

تعداد نرون‌های لایه پنهان یا مخفی عموماً به طور تجربی به دست می‌آید؛ برای شبکه‌ای عصبی با اندازه‌ای معقول تعداد نرون‌های پنهان با نسبتی کوچک از تعداد ورودی‌ها انتخاب می‌شود. اگر MLP به جواب مطلوب همگرا نشود، تعداد نرون‌های لایه پنهان را افزایش

تعداد نرون و تکرار ادامه یافت. در تمام مراحل فوق پس از هر بار آموزش، شبکه ارزیابی شد. برای ارزیابی بهتر عملکرد و انتخاب شبکه بهینه به آنالیز رگرسیونی و تعیین ضریب همبستگی بین داده‌های ورودی و خروجی در مرحله آموزش و درصد خطأ در مرحله ارزیابی اقدام گردید. تعداد بهینه نرون پنهان و تکرار در الگوریتم‌های آموزشی بر اساس بالاترین ضریب همبستگی مشخص می‌شود. با داشتن تعداد بهینه نرون پنهان و تکرار، می‌توان با استفاده از روش سعی و خطا در نوع تابع انتقال، مقادیر پارامترهای آموزشی و تعداد لایه‌های میانی تجدید نظر کرد تا شبکه، اگر عملکردی بهتر پیدا کرد به عنوان شبکه بهینه انتخاب شود. در هر صورت، بهترین نوع شبکه بر اساس بالاترین ضریب همبستگی در مرحله آموزش و پایین‌ترین خطأ در مرحله ارزیابی تعیین شد. برای یافتن حالت بهینه شبکه عصبی مصنوعی از تابع انتقال مختلفی از جمله تابع لگاریتم سیگموئید¹، تابع خطی² و تانژانت سیگموئید³ و همچنین برای بهینه‌سازی وزن‌های شبکه‌های پرسپترون از الگوریتم آموزشی لونبرگ-مارکوت استفاده شد. الگوریتم لونبرگ-مارکوت، سریع‌ترین روش برای شبکه‌های پیش‌خور با اندازه معمول است و با تابع trainlm اجرا می‌شود (Demuth & Beale, 2000).

برای هر شبکه ANN، ابتدا با تکرارهای متفاوت، مقادیر ضریب تبیین و RMSE بررسی شد. بعد از آنکه تعداد لایه، تعداد نرون، تابع انتقال و الگوریتم آموزش تعیین شد، آموزش شبکه آغاز و وزن‌های نهایی نرون‌ها تعیین شد. در کاربردهای عملی، به طور معمول تعداد نرون‌های مخفی و به خصوص تعداد لایه‌های مخفی در MLP از حدی بیشتر افزایش داده نمی‌شود. از آنجا که لایه‌های مخفی به طور سری با هم قرار دارند، نرون‌های ایشان در نتیجه پردازش با هم ترکیب می‌شود. این امر موجب خواهد شد که با افزایش تعداد لایه‌های مخفی حالت

مقادیر بالای ضریب تبیین و مقدار پایین خطای در مراحل آموزش و آزمون شبکه مؤید این مطلب است که مدل شبکه عصبی به خوبی توانسته هدایت هیدرولیکی اشباع خاک را با استفاده از خصوصیات زودیافت خاک تخمین بزند. بدیهی است که هر چه مقدار ضریب تبیین بیشتر (و به یک نزدیکتر) باشد، و هرچه مقدار خطای کمتر (و به صفر نزدیکتر) باشد، دقت پیش‌بینی مدل بیشتر خواهد بود. با توجه به دقت مدل شبکه عصبی به کار رفته در این تحقیق، نتایج این تحقیق با نتایج تحقیق سالازار و همکاران (Salazar *et al.*, 2008)، که هدایت هیدرولیکی اشباع را با استفاده از مدل رزتا^۱ برآورد کرده بودند، مطابقت نمی‌کند؛ این محققان در بررسی‌های خود مقدار هدایت هیدرولیکی اشباع را با استفاده از مدل رزتا، که دارای ماهیت شبکه عصبی است، ۱۵ درصد از مقادیر واقعی کمتر برآورد کرده‌اند.

می‌دهند و اگر شبکه همگرا گردید و از قدرت تعمیم خوبی هم برخوردار بود در صورت امکان تعداد نمونه‌های پنهان کمتری را می‌آزمایند. در نهایت می‌توان یک مقدار مناسب برای تعداد نمونه‌های لایه پنهان بر اساس عملکرد کلی سیستم تعیین کرد؛ حداکثر تعداد این نمونه‌ها باید طوری تعیین شود که پارامترهای شبکه بیشتر از داده‌های یادگیری نگردد (Menhaj, 1998).

معماری انتخاب شده برای شبکه عصبی این پژوهش دارای ۳ نمون در لایه ورودی، ۱۱ نمون در لایه پنهان با تابع انتقال تانژانت سیگموئید و یک نمون در لایه خروجی با تابع انتقال خطی با تعداد تکرار ۱۰۰۰ است. در تمام شبکه از سرعت یادگیری و مومنتم مساوی با $0/3^0$ استفاده شده است. نتایج حاصل از این مدل در برابر داده‌های اندازه‌گیری شده، رسم شد و با برآش بهترین خط عبوری از میان آنها، مقادیر ضریب تبیین و خطای محاسبه شدند (جدول ۲).

جدول ۲- شاخص‌های کمی ارزیابی شبکه‌های ساخته شده با استفاده از الگوریتم آموزشی لونبرگ-مارکوت

تعداد نمونه‌ها	سرعت یادگیری	مومنتم	RMSE (سانتی‌متر بر روز)	پارامترهای شبکه		ضرایب همبستگی شبکه	میانگین دقت	شبیه‌سازی (درصد)
				آزمون	ارزیابی	آموزش	ضریب تبیین	
۱۱	۰/۳	۰/۳	۱/۲۲	۰/۹۹۷	۰/۹۹۹	۰/۹۹۶	۰/۹۹۸	۹۹/۷

مدل ANFIS نسبت به مدل ANN در پیش‌بینی هدایت هیدرولیکی اشباع خاک دقت بالاتری دارد. نتایج این تحقیق با نتایج تحقیق کیانپور و کلخواجه (Kianpur-Kalkhajeh, 2012) و فیروزی و همکاران (Firoozi *et al.*, 2014) همخوانی ندارد؛ در تحقیقات این پژوهشگران، مدل ANN در مقایسه با مدل ANFIS، در تعیین هدایت هیدرولیکی اشباع خاک از پارامترهای زودیافت خاک نتایج دقیق‌تری ارائه داده است.

برای مقایسه دقت دو مدل در تعیین هدایت هیدرولیکی اشباع منطقه، جدول ۳ میزان هدایت هیدرولیکی برآورد شده توسط مدل‌ها را در مرحله وارسی و جدول ۴ شاخص‌های کمی ارزیابی مدل ANN و ANFIS را بر اساس پارامترهای RMSE، درصد خطای نسبی (ε)، MAE و ضریب تبیین نشان می‌دهد. اگرچه روش شبکه عصبی مصنوعی توانسته هدایت هیدرولیکی اشباع در منطقه را به خوبی برآورد کند، اما مقایسه عملکرد مدل‌ها نشان می‌دهد که

جدول ۳- هدایت هیدرولیکی اشباع برآورده شده توسط مدل‌های شبکه عصبی و ANFIS در مرحله وارسی (سانتی‌متر در روز)

مقدادیر اندازه‌گیری شده	برآورده شده با مدل ANFIS	برآورده شده با مدل ANN
۱۲۶/۵۲۸۸	۱۲۶/۵۱۵۴	۱۲۶/۵۲۸۹
۱۲۹/۵۵۸۸	۱۲۹/۵۵۴۲	۱۲۹/۵۵۸۹
۱۱۰/۶۵۵۹	۱۱۰/۸۹۶۱	۱۱۰/۶۵۵۹
۱۱۵/۰۷۵۹	۱۱۵/۰۸۳۳	۱۱۵/۰۷۵۹
۱۱۹/۹۶۲۶	۱۱۹/۹۲۴۸	۱۱۹/۹۶۲۹
۱۲۵/۵۱۶۰	۱۲۵/۴۵۶۶	۱۲۵/۵۱۵۹
۱۲۸/۱۵۲۹	۱۲۸/۱۷۸۱	۱۲۸/۱۵۲۹
۱۲۹/۷۴۲۸	۱۲۹/۷۲۵۱	۱۲۹/۷۴۲۹
۱۳۰/۰۱۰۷	۱۳۰/۰۱۱۰	۱۳۰/۰۱۰۹
۱۳۷/۴۴۰۷	۱۳۷/۵۰۷۴	۱۳۷/۴۴۰۹
۱۳۴/۲۴۳۶	۱۳۴/۳۰۱۱	۱۳۴/۲۴۳۹
۱۲۸/۲۹۳۹	۱۲۸/۲۶۶۸	۱۲۸/۲۹۳۹
۱۳۳/۴۸۳۹	۱۳۳/۵۳۹۳	۱۳۳/۴۸۳۹
۱۲۴/۶۴۷۷	۱۲۴/۶۴۴۰	۱۲۴/۶۴۷۹
۱۱۸/۵۵۴۲	۱۱۸/۵۱۳۸	۱۱۸/۵۵۳۹

جدول ۴- شاخص‌های عملکردی مدل‌ها

مدل	مدل	راندمان	ضریب جرم باقیمانده	RMSE (سانتی‌متر بر روز)	MAE (سانتی‌متر بر روز)	خطای نسبی (درصد)	ضریب تبیین
ANFIS	ANN	۰/۹۹۹	-۰/۰۰۰۰۰۲۳	۰/۰۳۲	۰/۱۸	۰/۶۲	۰/۹۹۷
ANN	ANFIS	۰/۹۹۷	-۰/۰۰۰۱۵	۱/۲۲	۱/۲۱	۱/۲۴	۰/۹۹

تحقیق مذکور مقدار ۰/۳ برای میزان آموزش و مومنتوم دارای کمترین واریانس خطای شد لذا در تمام شبکه از سرعت یادگیری و مومنتوم مساوی با ۰/۳ استفاده شد. سیستم استنتاج فازی- عصبی دارای ۲۷ قانون است و برای تابع عضویت متغیرهای ورودی از تابع گوسین و برای آموزش سیستم استنتاج فازی- عصبی از روش هیبرید استفاده شد. همچنین، برای ارزیابی این مدل‌ها از پارامترهای آماری RMSE، درصد خطای نسبی، MAE و ضریب تبیین و آماره‌های ضریب جرم باقیمانده و راندمان مدل بهره گرفته شد. نتایج تحقیقات نشان می‌دهد که هر دو روش در تعیین میزان هدایت هیدرولیکی اشباع خاک دقت بالایی دارند اما دقت سیستم ANFIS، نسبت به

نتیجه‌گیری

در این تحقیق از سیستم استنتاج فازی- عصبی (ANFIS) و شبکه عصبی مصنوعی (ANN) برای برآورد هدایت هیدرولیکی اشباع خاک استفاده شد. معماری بهینه انتخاب شده برای شبکه عصبی دارای ۳ نرون در لایه ورودی، ۱۱ نرون در لایه پنهان با تابع انتقال تانژانت سیگموئید و یک نرون در لایه خروجی با تابع انتقال خطی با تعداد تکرار ۱۰۰۰ است. در قسمت آموزش شبکه‌های عصبی می‌توان با اعمال عددی بین صفر و یک به عنوان مونتوم^۱ در الگوریتم traindm به شبکه اجازه داد تا علاوه بر تغییرات شیب به تغییرات سطح خطا نیز واکنش نشان دهد و همگرای سریع‌تر و دقیق‌تری را سبب شود که در

رگرسیون خطی می‌تواند از روش شبکه عصبی دقیق‌تر باشد. نتایج این تحقیق نشان می‌دهد که با استفاده از داده‌های بیشتر در مرحله آموزش و ساختار شبکه عصبی ساده‌تر از لحاظ تعداد لایه‌های پنهان و نرون‌های لایه پنهان، برای جلوگیری از پیچیدگی فرآیند آموزش شبکه عصبی، می‌توان نتایج دقیق‌تری را به دست آورد و کارایی شبکه عصبی را در پیش‌بینی فرآیندهای مربوط به خاک افزایش داد. به طور مثال، رحمان و مهندس (Rehman & Mohandes, 2008) برای برآورد تابش خورشیدی در شهر آبهای عربستان سعودی از دما و رطوبت نسبی با دوره آماری ۵ ساله (۱۹۹۸-۲۰۰۲) استفاده کردند. نتایج به دست آمده نشان داد که شبکه‌های عصبی قادرند تابش خورشیدی را تنها از دما و رطوبت نسبی برآورد کنند که می‌تواند برای برآورد تابش خورشیدی مناطقی که فقط دما و رطوبت در آن اندازه‌گیری می‌شود، به کار گرفته شود.

طبق نظر شاپ و لیج (Schaap & Leij, 1998) در طراحی شبکه‌های عصبی نوع خاصی از معادلات لازم نخواهد بود و با ایجاد رابطه مناسب بین داده‌های ورودی و خروجی می‌توان به نتایج مناسب دست یافت و به علت وجود روابط غیرخطی میان متغیرهای وابسته و پیش‌بینی شونده شبکه عصبی می‌تواند نتایج را با تشخیص این روابط غیرخطی به شکلی دقیق پیش‌بینی کند. همان‌طور که نتایج تحقیقات تاماری و همکاران (Tamari *et al.*, 1996) نشان داده است مدل شبکه عصبی ممکن است در مواردی که داده‌ها ناپایدارند و دقت کافی ندارند، نتایج دقیق را پیش‌بینی نکند. از آنجا که داده‌های مربوط به خاک با این خصیصه همراهند، نتایج تحقیق نشان می‌دهد که در منطقه مذکور، با فرض وجود داده‌های با دقت پایین در مجموعه داده‌های ورودی، مدل با قابلیت غیرخطی خود توانسته است تاثیر این داده‌ها را در نتایج به حداقل برساند. به نظر می‌رسد که افزایش نرون‌ها در لایه پنهان می‌تواند تأثیر

ANN، بالاتر است و نتایج نیز به داده‌های اندازه‌گیری شده نزدیک‌تر است. نتایج نشان می‌دهد که با در نظر گرفتن بافت خاک به عنوان پارامتر حساس و مهم در تعیین هدایت هیدرولیکی خاک، هر دو سیستم هدایت هیدرولیکی خاک را با دقت بالا پیش‌بینی کردن؛ دلیل آن ممکن است تعداد بالای داده‌های ورودی به مدل برای آموزش سیستم باشد که هر دو مدل را قادر به آموزش مناسب سیستم کرده و خطای محاسبات را به کمترین مقادار رسانده است. علاوه بر این، افزایش تعداد داده ورودی به مدل می‌تواند خطای ناشی از بی‌دقیقی در اندازه‌گیری تعدادی از داده‌های ورودی را در مرحله آموزش در سیستم‌های نورو فازی و شبکه‌های عصبی خنثی کند که ممکن است علت دقت مدل‌های دیگر در مقابل سیستم‌های نورو فازی و شبکه‌های عصبی ناشی از به کارگیری تعداد پایین داده‌های ورودی در مرحله آموزش باشد. نتایج بررسی‌ها نشان می‌دهد که سیستم ANFIS به دلیل ساختار ساده و استفاده از قواعدی که بر پایه داده‌های اندازه‌گیری شده نوشته شده است و همچنین به دلیل ایجاد رابطه‌ای خطی‌تر بین داده‌های زودیافت خاک با استفاده از بافت خاک ارائه می‌دهد. نتایج بررسی‌ها همچنین نشان می‌دهد که پارامترهای درصد اندازه ذرات خاک مهم‌ترین و حساس‌ترین پارامترهای زودیافت خاک در تعیین هدایت هیدرولیکی اشباع خاک هستند. این موضوع در تحقیق رضایی‌ارشد (Rezaie-Arshad, 2010) نیز تایید شده است؛ وی در تحقیق خود با در نظر گرفتن پارامترهای مختلف در تعیین نفوذپذیری نهایی در خاک با استفاده از MLP، به این نتیجه رسید که شبکه عصبی با ورودی رس، سیلت و شن بیشترین دقت را در برآورد نفوذ نهایی خاک دارد. این پژوهشگر همچنین مشخص می‌کند که اگر ورودی‌های شبکه عصبی داده‌های کمی داشته باشد، نتایج روش

اینکه عضویت داده‌های ورودی (درصد اندازه ذرات خاک) به مقادیر کم، متوسط و زیاد بدون چولگی است و تغییرات نرمی ندارند، این تابع برای مسائل مربوط به خاک در مدل‌های نورو- فازی تابعی مناسب باشد.

بی‌دقیقی در برخی از داده‌های اندازه‌گیری شده را در برآورد نهایی مدل کاهش دهد. همچنین، نتایج نشان می‌دهد که تابع عضویت گوسی در مدل ANFIS به دلیل مزیت نرمی و داشتن مقدار غیر صفر در کلیه نقاط و همچنین با توجه به

قدردانی

این مقاله با حمایت معاونت محترم پژوهشی دانشگاه اردبیلی طی قرارداد طرح شماره ۹۲/۵۶۸۷/۹، تهیه شده است و از ایشان قدردانی می‌شود.

مراجع

- Agyare, W. A., Park, S. J. and Vlek, P. L. G. 2007. Artificial neural network estimation of saturated hydraulic conductivity. *Vadose Zone J.* 6(2): 423-431.
- Amir-Abedi, H. 2012. Estimation soil hydraulic properties of Ardabil plain using artificial neural networks and regression methods. M. Sc. Thesis. Faculty of Agricultural Technology and Natural Resources. University of Mohaghegh Ardabili. (in Persian)
- Amjadi, N. 2002. Introduction to Intelligent Systems. Semnan University Press. (in Persian)
- Anon. 2008. MATLAB software help manual. Version7.6.0.2008b. The Math Works, Inc.
- Aqil, M., Kita, I., Yano, A. and Nishiyama, S. 2007. A comparative study of artificial neural networks and neuro-fuzzy in continuous modeling of the daily and hourly behaviour of runoff. *J. Hydrol.* 337(1-2): 22-34.
- Demuth, H. and Beale, M. 2000. Neural network toolbox user Guide. Copyright 1992-2002. By The Math Works, Inc. Version4.
- Finol, J., Guo, Y. K. and Jing, X. D. 2001. A rule based fuzzy model for the prediction of petrophysical rock parameters. *J. Petrol. Sci. Eng.* 29, 97-113.
- Firooz, S., Sheikhdavoodi, M. J. and Sami, M. 2014. Evaluation the ability of different artificial intelligence-based modeling techniques in prediction of yield using energy inputs data of farms. *J. life Sci. Biomed.* 4(3): 214-220.
- Givi, J., Prasher, S. O. and Patel, R. M. 2004. Evaluation of pedotransfer functions in predicting the soil water contents at field capacity and wilting point. *Agri. Water Manage.* 70, 83-96.
- Gokceoglu, C. 2002. A fuzzy triangular chart to predict the uniaxial compressive strength of the Ankara agglomerates from their petrographic composition. *Eng. Geol.* 66, 39-51.
- Heuscher, S. A., Brandt, C. C. and Jardin, P. M. 2005. Using soil physical and chemical properties to estimate bulk density. *Soil Sci. Soc. Am. J.* 69, 51-56.
- Jacovides, C. P. 1997. Reply to comment on Statistical procedures for the evaluation of evapotranspiration models. *Agr. Water Manage.* 3, 95-97.
- Jang, J. S. R. 1993. ANFIS: Adaptive Network Based Fuzzy Inference System. *IEEE Trans. Syst. Man Cybern.* 23 (3): 665-685.
- Jang, J. S. R. and Sun, C. T. 1997. Neuro-fuzzy modeling and control. *Proceedings of the IEEE.* 83(3): 378-406.

- Karakus, M. and Tutmez. B. 2006. Fuzzy and multiple regression modeling for evaluation of intact rock strength based on point load, Schmidt hammer and sonic velocity, *Rock Mech. Rock Eng.* 39(1): 45-57.
- Karatalopoulos, S. V. 2000. Understanding Neural Networks and Fuzzy Logic-Basic Concepts and Applications. Wiley-IEEE Press. New-Delhi. India.
- Kianpur-Kalkhajeh, U., Rezaie-Arshad, R., Amerikhah, H. and Sami. M. 2010. Multiple linear regression, artificial neural network (MLP, RBF) and ANFIS models for modeling the saturated hydraulic conductivity of tropical region soils (case study: Khuzestan province: sothwest Iran). *Int. J. Agr. Res and Rev.* 2(3): 255-265
- Lippman, R. P. 1987. An introduction to computing with neural nets. *ASSP Magazine, IEEE.* 4(2):4-22.
- Luk, K. C., Ball, J. E. and Sharma. A. 2000. A study of optimal model lag and spatial inputs to artificial neural network for rainfall forecasting. *J. Hydrol.* 227(1-4): 56-65.
- Marshal, T. J. 1958. A relationship between permeability and size distribution of pores. *Soil Sci.* 9, 1-8.
- Menhaj, M. B. 1998. Principle of Neural Networks. First edition. Professor Hesabi Publishing Center. Tehran. Iran.
- Merdun, H., Ozer, C., Meral, R. and Apan, M. 2006. Comparison of Artificial Neural Network and regression pedotransfer functions for prediction of soil water retention and saturated hydraulic conductivity. *Soil Till. Res.* 90(1-2): 108-116.
- Mohammadi, J. 2002. Testing an artificial neural network for predicting soil water retention characteristics from soil physical and chemical properties. 17th WCSS. Thailand. Paper No. 221.
- Mohammadi, J. and Taheri, M. 2005. Estimation of pedotransfer function using fuzzy regression. *J. Agric. Sci. Technol.* 9(2): 51-60. (in Persian)
- Naderloo, L., Alimardani, R., Omid, M., Sarmadian, F., Javadikia, P., Yaser Torabi, M. and Alimardani. F. 2012. Application of ANFIS to predict crop yield based on different energy inputs. *Measurement.* 45, 1406-1413.
- Nosrati-Karizak, F., Movahhedi-Naieni, S. A. R., Hezarjaribi, A., Roshani, Gh. A. and Dehghani, A. H. 2012. Using artificial neural networks to estimate the saturated hydraulic conductivity of readily available soil properties. *Soil Manage. Sustain. Prod.* 2(1): 95-110.
- Rahimi-Ajdadi, F. and Abbaspour-Gilandeh. Y. 2011. Artificial neural network and stepwise multiple range regression methods for prediction of tractor fuel consumption. *Measurement.* 44(10): 2104-2111.
- Rawls, W. J. 2004. Pedotransfer functions for the United States. *Dev. Soil Sci.* 30, 437-447.
- Rehman, S. and Mohandes, M. 2008. Artificial neural network estimation of global solar radiation using air temperature and relative humidity. *Energ. Policy.* 36, 571-576.
- Rezaie-Arshad. R. 2010. Expansion pedo transfer functions of soil hydraulic conductivity with artificial neural networks and statistical regression methods for Khouzestan province soils. M.S Thesis. Faculty of Agricultural Science. University of Shahid Chamran. (in Persian)
- Salazar, O., Wesstrom, I. and Joel. A. 2008. Evaluation of Drainmod using saturated hydraulic conductivity estimated by a pedotransfer function model. *J. Agr. Water Manage.* 95, 1135-1143.
- Sarmadian, F., Taghizadeh-Mehrjerdi, R., Mohammad-Askari, H. and Akbarzadeh, A. 2010. Comparison of nero fuzzy, neural network and multiple regression methods to predicting some soil properties (Case Study: Golestan province). *Iranian J. Soil Water Res.* 41(1): 211-220.

- Schaap, M. G. and Leij, F. J. 1998. Using neural networks to predict soil water retention and soil hydraulic conductivity. *Soil Till. Res.* 47, 37-42.
- Soltani, S. and Morid, S. 2002. Comparison of Conceptual model with artificial neural network to simulate rainfall-runoff process. Proceeding of the 6th International River Engineering Conference. Shahid Chamran University. Ahvaz. Iran. (in Persian)
- Tamari, S., Wosten, J. H. M. and Ruz-suarez, J. C. 1996. Testing an artificial neural network for predicting soil hydraulic conductivity. *Soil Sci. Soc. Am. J.* 60, 1732-1741.
- Vos, B. D., Meirvenne, M. V., Quataert, P., Deckers, J. and Muys, B. 2005. Predictive quality of pedotransfer functions for estimating bulk density of forest soils. *Soil Sci. Soc. Am. J.* 69, 500-510.
- Wosten, J. H. M., Lilly, A. Nemes, A. and Bas, C. 1999. Development and use of a database of hydraulic properties of European soils. *Geoderma.* 90, 169-185.
- Yilmaz, I. and Kaynar, O. 2011. Multiple regression, ANN (RBF, MLP) and ANFIS models for prediction of swell potential of clayey soils. *Expert Syst. Appl.* 38(5): 5958-5966.

Adaptive Neuro Fuzzy Inference System and Multilayer Perceptron Neural Networks to Estimate Saturated Hydraulic Conductivity by Soil Texture

A Case Study for Fath-Ali Irrigation Network in Moghan Plain

Y. Hoseini* and **R. Sedghi**

* Corresponding Author: Assistance Professor, Moghan College of Agriculture and Natural Resources, University of Mohaghegh, Ardabili, Iran. Email: yaser_hoseini@ymail.com

Received: 5 September 2015, Accepted: 9 January 2016

Direct measurement of soil hydraulic conductivity is time-consuming and expensive. Direct measurement of soil hydraulic properties can be replaced by simple measurement of properties such as soil texture and bulk density using transfer functions and an adaptive neuro fuzzy inference system (ANFIS). The present study used ANFIS and neural network models to estimate saturated soil hydraulic conductivity. The model inputs included percentage of silt, clay, and sand. The architecture for this network contained 3 neurons in the input layer and 11 neurons in the hidden layer using the tangent sigmoid transfer function, and an output layer of neurons with a linear transfer function and 1000 iterations. In all networks, the learning rate and momentum was 0.3. The neuro fuzzy inference system had 27 rules, a Gaussian membership function was used for input data, and a hybrid method was used to optimize the ANFIS model. The root mean square error (mm^{-1}), percentage of relative error (ϵ), mean absolute error (cmd^{-1}), coefficient of residual mass, efficiency, and coefficient of determination were used to evaluate the performance of the model. For the ANFIS model, these values were 0.032, 0.62%, 0.18, -0.0000023, 0.999, and 0.997, respectively. The values for the Levenberg-Marquardt training algorithm were 1.22, 1.44%, 1.21, -0.00015, 0.997, and 0.99, respectively. Performance evaluation of the models showed that the ANFIS model predicted soil hydraulic conductivity with greater accuracy than did the neural network and the results of this method were closer to actual measurement results.

Keywords: ANFIS, ANN, Estimation, Saturated Hydraulic Conductivity, Soil Gradation